

9. Fázová rovnováha jednozložkových sústav

Stav jednozložkovej sústavy je určený len dvoma stavovými veličinami (napr. teplotou a tlakom). Zloženie sústavy je nemenné, pretože môlový zlomok c_i^n sa vždy rovná jednej.

Jednozložková sústava môže byť jedno-, dvoj- a trojfázová. Jednofázová sústava podľa Gibbsoveho pravidla má dva stupne volnosti (sústava bivariantná), to znamená, že dve stavové veličiny (teplota a tlak) možno nezávisle meniť bez toho, aby sa zmenil počet fáz sústavy. V sústave s jednou zložkou v jednej fáze neexistuje žiadny vzťah medzi stavovými veličinami. Trojfázová sústava nemá ani jeden stupeň volnosti (sústava nonvariantná), takže v tomto prípade neexistuje nezávislá stavová veličina (stav vyjadrený trojným bodom na obr. 3.1). V dvojfázovej sústave, ktorá má jeden stupeň volnosti (sústava monovariantná), možno jednej nezávisle premennej stavovej veličine jednoznačným spôsobom priradiť druhú stavovú veličinu.

9.1 TLAK NASÝTENEJ PARY ČISTEJ LÁTKY

Všeobecná podmienka fázovej rovnováhy pre viaczložkovú trojfázovú sústavu podľa rovnice (4.7-15) je

$$\mu_i^I = \mu_i^{II} = \mu_i^{III}$$

Pre jednozložkovú sústavu s dvoma fázami podmienka rovnováhy je

$$g^I = g^{II} \quad (9.1-1)$$

protože chemický potenciál zložky je totožný s jej môlovou volnou entalpiou.

Z rovnice (9.1-1) vyplýva

$$dg^I = dg^{II}$$

a po dosadení z rovnice (4.2-7) pre 1 mol látky dostaneme

$$-s^I dT^I + v^I dp^I = -s^{II} dT^{II} + v^{II} dp^{II} \quad (9.1-2)$$

Pretože v rovnováhe sú teplota a tlak v oboch fázach rovnaké, z jedného rovnovážneho stavu do druhého možno prejsť iba tak, že sa v oboch fázach zmení teplota a tlak o rovnakú hodnotu, t.j.

$$dP^I = dP^{II} \quad \text{a} \quad dT^I = dT^{II}$$

Úpravou rovnice (9.1-2) potom dostaneme

$$(v^{II} - v^I)dP = (s^{II} - s^I)dT$$

prípadne

$$\frac{dP}{dT} = \frac{s^{II} - s^I}{v^{II} - v^I} \quad (9.1-3)$$

čo je diferenciálnym vyjadrením kritéria fázovej rovnováhy (9.1-1).

Pri rovnovážnom stave výmena látky medzi fázami je vratná. Ak sa vymení 1 mol látky medzi fázou I a II, zmení sa mоловý objem sústavy o diferenciu $v^{I \rightarrow II} = v^{II} - v^I$ a mоловá entalpia o rozdiel

$$s^{II} - s^I = \Delta s^{I \rightarrow II} = \frac{Q^{I \rightarrow II}}{n \cdot T} = \frac{\Delta h^{I \rightarrow II}}{T}$$

kde $\frac{Q}{n} = \Delta h$ je skupenské teplo rovnovážnej fázovej premeny $I \rightarrow II$ (latentné teplo).

Po dosadení do rovnice (9.1-3) dostaneme Clapeyronovu rovnicu.

$$\frac{dP}{dT} = \frac{\Delta h^{I \rightarrow II}}{\Delta v^{I \rightarrow II} \cdot T} \quad (9.1-4)$$

Clapeyronova rovnica udáva závislosť tlaku od teploty pre sústavu v rovnováhe s 1 zložkou a 2 fázami. Možno ju napísat pre sústavu

kvapalina - para
(vyparovanie)

$$\frac{dP}{dT} = \frac{\Delta vyp^h}{T \Delta v^{l \rightarrow g}} \quad (\Delta v^{l \rightarrow g} = v^g - v^l) \quad (9.1-5)$$

tuhá látka - kvapalina
(topenie)

$$\frac{dP}{dT} = \frac{\Delta top^h}{T \Delta v^{s \rightarrow l}} \quad (\Delta v^{s \rightarrow l} = v^l - v^s) \quad (9.1-6)$$

tuhá látka - plyn
(sublimácia)

$$\frac{dP}{dT} = \frac{\Delta_{\text{sub}}^h}{T \Delta v^{s \rightarrow g}} \quad (\Delta v^{s \rightarrow g} = v^g - v^s) \quad (9.1-7)$$

kde Δ_{vyp}^h je skupenské teplo vyparovania (výparné teplo),
 Δ_{top}^h - skupenské teplo topenia,
 Δ_{sub}^h - skupenské teplo sublimácie.

Diferencie Δv sú rozdiely mоловých objemov látky zúčastnených fáz.

Clapeyronovu rovnicu na vyparovanie upravil ďalej Clausius tým, že zaviedol tieto zjednodušujúce predpoklady

1. $\Delta v^{l \rightarrow g} = v^g - v^l \approx v^g$ - mоловý objem látky v kvapalnej fáze je voči mоловému objemu v parnej fáze zanedbatelný;
2. $v^g = \frac{RT}{P}$ - pre parnú fázu platí stavová rovnica ideálneho plynu (platí len pri nižších tlakoch a vysokých teplotách).

Po dosadení do Clapeyronovej rovnice (9.1-5) dostal Clausius vzťah

$$\frac{dP}{dT} = \frac{\Delta_{\text{vyp}}^h}{R} \cdot \frac{P}{T^2} \quad (9.1-8)$$

ktorý nazývame Clausiova-Clapeyronova rovnica.

Podobne ako rovnicu na vyparovanie, môžeme zjednodušiť aj Clapeyronovu rovnicu (9.1-7) na sublimáciu. Pretože

$$\Delta v^{s \rightarrow g} = v^g - v^s \approx v^g = \frac{P}{RT}$$

rovnicu (9.1-7) sa zjednoduší na tvar

$$\frac{dP}{dT} = \frac{\Delta_{\text{sub}}^h}{R} \cdot \frac{P}{T^2} \quad (9.1-9)$$

Takéto zjednodušenie nemožno uskutočniť v rovnici (9.1-6), pretože pri topení v^s v porovnaní s v^l nemožno zanedbať.

Na ďalší výpočet Clausiovu-Clapeyronovu rovnicu upravíme

$$\frac{dP}{P} = \frac{\Delta_{\text{výp}}^h}{R} \cdot \frac{dT}{T^2} \quad (9.1-10)$$

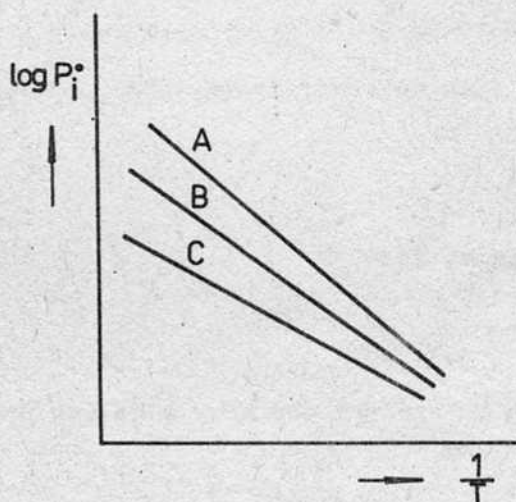
V menšom rozsahu teplôt sa výparné teplo príliš nemení, môžeme teda predpokladať, že $\Delta_{\text{výp}}^h$ je konštantné, takže rovnica (9.1-10) možno jednoducho integrovať

$$\ln P^0 = \frac{-\Delta_{\text{výp}}^h}{R} \cdot \frac{1}{T} + \text{konšt.} \quad (9.1-11)$$

alebo vyjadriť dekadickým logaritmom

$$\log P^0 = \frac{-\Delta_{\text{výp}}^h}{2,303 R} \cdot \frac{1}{T} + \text{konst.} \quad (9.1-12)$$

Závislosť tlaku nasýtenej pary od teploty definovaná touto rovnicou sa v semilogaritmických súradničach ($1/T$, $\log P^0$) zobrazí ako priamka, tak ako je to vyznačené na obr. 9.1. Závislosť P^0 od T je exponenciálna krivka (obr. 9.2).

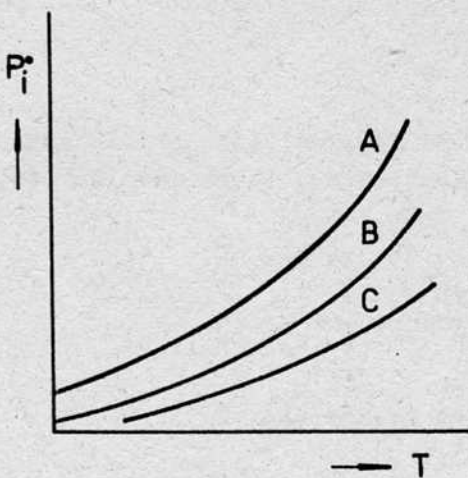


Obr. 9.1

Priebeh tlaku nasýtených pár kvapalín v súradničach $1/T, \log P_i^0$

Integráciou rovnice (9.1-10) medzi stavmi 1 a 2 (ked v danom intervale teplot uvažujeme so stredným výparným teplom) dostaneme

$$\int_{P_1^0}^{P_2^0} d \log P = - \frac{\Delta_{\text{výp}}^h}{2,303 R} \int_{T_1}^{T_2} d \frac{1}{T} \quad (9.1-13)$$



Obr. 9.2

Priebeh tlaku nasýtených pár kvapalín v lineárnych súradničiach T, P_i^0

$$\log \frac{P_2^0}{P_1^0} = \frac{\Delta_{\text{výp}} h}{2,303 R} \left(\frac{1}{T_1} - \frac{1}{T_2} \right)$$

V širšom rozsahu teploty varu nie je výparné teplo konštantné.

V prípade, keď parná fáza netvorí ideálny plyn, môžeme pre ňu napísat vzťah

$$Pv^g = z^g RT$$

a analogicky pre kvapalnú fázu

$$Pv^l = z^l RT$$

Odpočítaním stavových rovníc pre obe fázy a ďalšou úpravou dostaneme

$$\Delta v^{l \rightarrow g} = v^g - v^l = \frac{RT \Delta z^{l \rightarrow g}}{P} \quad (9.1-14)$$

Po dosadení do pôvodnej Clapeyronovej rovnice (9.1-5) dostaneme vzťah

$$\frac{dP}{dT} = \frac{\Delta_{\text{výp}} h}{R} \cdot \frac{P}{T \Delta z^{l \rightarrow g}} \quad (9.1-15)$$

ktorý zohľadňuje reálne správanie sa parnej a kvapalnej fázy. Separáciou premenných dostaneme iný tvar rovnice (9.1-15)

$$d \ln P = - \frac{\Delta vyp^h}{R \Delta z^{1 \rightarrow g}} d \left(\frac{1}{T} \right) \quad (9.1-16)$$

Výparné teplo ako i diferencia súčiniteľa stlačiteľnosti $\Delta z^{- \rightarrow g}$ s rastúcou teplotou klesajú, zostáva ich podiel v užšom rozsahu teplôt približne konštantný. Integráciou rovnice (9.1-16) v najjednoduchšom prípade získame vzťah

$$\ln P^0 = A - \frac{B}{T} \quad (9.1-17)$$

kde A je integračná konštantá

$$B = \frac{\Delta vyp^h}{R \Delta z^{1 \rightarrow g}}$$

Vidíme, že rovnica (9.1-17) je v skutočnosti totožná s Clausiovou-Clapeyronovou rovnicou (9.1-11), prípadne (9.1-12).

Rovnicu (9.1-17) možno dobre použiť na approximáciu tlaku nasýtenej pary (rovnovážny tlak pár, tenzia pár) v malom rozpäti teplôt, ak poznáme konštanty A , B . Možno ju ľahko generalizovať, ak poznáme tlak nasýtenej pary (P_{nv}) pri normálnej teplote varu (T_{nv}) a tlak nasýtenej pary v oblasti kritického bodu (t.j. P_k, T_k), tak ako je naznačené na obr. 9.3. Z pôvodnej rovnice (9.1-17) dostaneme potom pre normálnu teplotu varu

$$\ln P_{nv} = A - \frac{B}{T_{nv}} \quad (9.1-17a)$$

a pre kritický stav

$$\ln P_k = A - \frac{B}{T_k} \quad (9.1-17b)$$

Z týchto troch rovnic možno získať hľadanú generalizovanú rovinu. Najprv si z rovnic (9.1-17a) a (9.1-17b) určíme konštanty A a B

$$A = \frac{T_k}{T_k - T_{nv}} \ln \frac{P_k}{P_{nv}} + \ln P_{nv} \quad B = \frac{T_{nv} T_k}{T_k - T_{nv}} \ln \frac{P_k}{P_{nv}}$$

a získané vzťahy pre A , B dosadíme do rovnice (9.1-17) a dostaneme

$$\ln P^0 = \frac{T_k}{T_k - T_{nv}} \ln \frac{P_k}{P_{nv}} + \ln P_{nv} - \left(\frac{T_{nv}}{T_k - T_{nv}} \ln \frac{P_k}{P_{nv}} \right) \cdot \frac{1}{T}$$

Ak zavedieme do tejto rovnice redukované veličiny a súčasne vydelíme čitateľa a menovateľa na pravej strane rovnice s T_k , dostaneme výsledný vzťah

$$\begin{aligned} \ln \frac{P^0}{P_k} - \ln P_k &= \frac{1}{1 - T_{nvr}} (\ln P_k - \ln P_{nv}) + \\ &+ \frac{T_{nvr}}{1 - T_{nvr}} (\ln P_k - \ln P_{nv}) \cdot \frac{1}{T_r} \end{aligned}$$

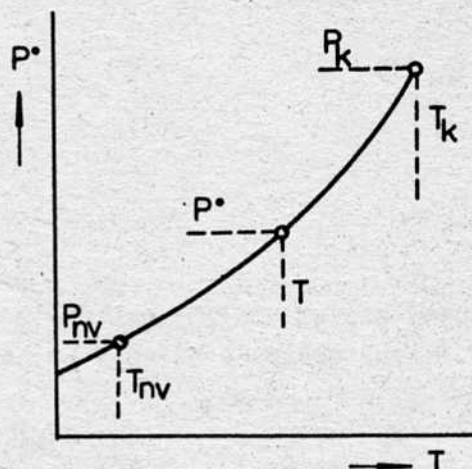
kde

$$T_{nvr} = \frac{T_{nv}}{T_r}$$

je redukovaná normálna teplota varu. Po úprave bude konečný tvar rovnice nasledujúci

$$\ln P_r^0 = \left(\frac{T_{nvr}}{1 - T_{nvr}} \ln \frac{P_k}{P_{nv}} \right) \left(1 - \frac{1}{T_r} \right) \quad (9.1-18)$$

Veličiny P_r^0 , T_r sú redukované parametre sýtej pary v tubovolnom stave medzi normálnou teplotou varu a kritickou teplotou (pozri obr. 9.3).



Obr. 9.3

Priebeh tlaku nasýtej pary medzi normálnym bodom varu a kritickým bodom varu

Napr. pre benzén s normálnou teplotou varu $80,1^{\circ}\text{C}$ pri tlaku $101,325 \text{ kPa}$ a jeho kritickom bode $562,1 \text{ K}$ a 4890 kPa možno získať vzťah pre tlak nasýtenej pary v závislosti od redukovanej teploty

$$\ln \frac{P^0}{4890} = 6,556926 \left(1 - \frac{562,1}{T} \right)$$

Na porovnanie uvádzame v tab. 9.1 experimentálne hodnoty tlaku nasýtenej pary benzénu pri siedmich teplotách varu podľa lit. [19] a hodnoty tlaku nasýtenej par, ktoré boli vypočítané pomocou generalizovanej Clapeyronovej rovnice (9.1-18) a podľa Antoineovej rovnice (9.1-19). Chyby sa počítali podľa vzťahu

$$x = \frac{P_{\text{vyp}}^0 - P_{\text{exp}}^0}{P_{\text{exp}}^0} \cdot 100 \%$$

Tabuľka 9.1

t_v [$^{\circ}\text{C}$]	P_{exp}^0 [kPa]	Podľa generalizovanej Clapeyronovej rov. (9.1-18)		Podľa Antoineovej rov. (9.1-19)	
		P_{vyp}^0 [kPa]	chyba [%]	P_{vyp}^0 [kPa]	chyba [%]
80,1	101,325	101,325	0,0	102,67	+1,23
103,8	202,60	195,3	-3,65	200,30	-1,14
142,5	506,625	485,26	-4,22	501,72	-0,97
178,8	1013,25	989,19	-2,37	1020,43	+0,71
221,5	2026,50	1999,90	-1,31	2043,81	+0,85
249,5	3039,75	2981,04	-1,93	3020,93	-0,62
272,3	4053,00	4002,95	-1,23	4025,63	-0,68

Pre širší rozsah teplôt už uvedené zjednodušenia nevyhovujú a preto sa zaviedli rôzne upravené semiempirické rovnice s dvoma alebo viacerými konštantami, ktoré zohľadňujú závislosť zmeny výparného tepla od zmeny teploty a tlaku sústavy.

Najviac sa používa trojparametrová Antoineova rovnica

$$\ln P^0 = a' - \frac{b'}{t + c'} \quad (9.1-18)$$

alebo s dekadickým logaritmom

$$\log P^0 = a - \frac{b}{t + c}$$

(9.1-19)

kde t je teplota varu v $^{\circ}\text{C}$.

Látkové konštanty a , b , c sa zistujú pre každú látku vyrovnaním experimentálnych údajov nameraných v určitom teplotnom (prípadne tlakovom) rozpätí. Pre toto rozpäťie je táto rovnica platná a dáva relativne veľmi presné výsledky. Takto vypočítané konštanty sú publikované. Obsažný súbor Antoineových konštánt pre anorganické i organické kvapaliny je v lit. [46] a pre organické kvapaliny v lit. [48]. Napr. pre benzén pre teplotný interval 80 až 250 $^{\circ}\text{C}$ pre t v $^{\circ}\text{C}$ a P^0 v kPa sú tlakové konštanty nasledujúce

$$a = 6,32581 \quad b = 1\ 415,80 \quad c = 248,028$$

Dosadením konštánt do Antoineovej rovnice potom dostaneme tlak nasytenej pary benzénu pri teplote varu. Takto vypočítané hodnoty tlaku nasytenej pary v závislosti od teploty varu sú v tab. 9.1, kde vidieť chyby vypočítaných hodnôt v porovnaní s experimentálne určenými hodnotami.

Calingaert a Davis zjednodušili rovnicu (9.1-19) tým, že zaviedli univerzálne konštantu C , ktoraj strednú hodnotu vyčislili $C = 230$ a takto získali vzťah

$$\log P^0 = a - \frac{b}{t + 230} \quad (9.1-20)$$

kde a , b sú látkové konštanty (rôzne od konštánt v Antoineovej rovnici), ktoré sú pre jednotlivé látky publikované v literatúre.

Ďalšia metóda na výpočet tlaku nasytenej pary je Pitzerova. Na základe svojich predchádzajúcich prác navrhol Pitzer [53] na výpočet tlaku nasytenej pary pri teplote varu vzťah

$$\ln P_r^0 = f^0 + \omega f^1 \quad (9.1-21)$$

kde P_r^0 je redukovaný tlak nasytenej pary pri teplote varu,
 f^0 , f^1 sú funkcie redukovanej teploty T_r ,
 ω je acentrický faktor.

Funkcie f^0 , f^1 získané z experimentálnych údajov vyjadril tabelárne. Tieto tabelárne hodnoty neskôr spracovali Lee a Kesler [65] do dvoch analytických výrazov

$$f^0 = 5,92714 - \frac{6,09648}{T_r} - 1,28862 \ln T_r + 0,169347 T_r^6 \quad (9.1-22)$$

$$f^1 = 15,2518 - \frac{15,6875}{T_r} - 13,4721 \ln T_r + 0,43577 T_r^6 \quad (9.1-23)$$

Acentrický faktor je definovaný rovnicou (3.4-14). Na použitie v rovnici (9.1-21) je však lepšie jeho hodnotu najprv vypočítať z tej istej rovnice pre známe hodnoty normálnej teploty varu T_{nv} pri normálnom tlaku $P_{nv} = 101,325 \text{ kPa}$.

Redukované parametre pri normálnych podmienkach varu sú

$$T_{nvr} = \frac{T_{nv}}{T_k} \quad P_{nvr} = \frac{P_{nv}}{P_k}$$

Po dosadení do rovnice (9.1-21) a po úprave získame vzťah na výpočet acentrického faktora

$$\omega = \frac{\ln \frac{P_{nv}}{P_k} - f^0(T_{nvr})}{f^1(T_{nvr})} \quad (9.1-24)$$

Pre práce pri vysokých tlakoch sa odporúča používať Gamsonovu-Watsonovu rovinu, ktorá má tvar

$$\log P^0 = - \frac{A}{T_r} + B - e^{20(T_r - b)} \quad (9.1-25)$$

kde A, B, b sú látkové konštanty.

Určenie tlaku nasytenej pary porovnaním s referenčnou látkou

Napriek tomu, že tlaky nasytenej pary rôznych látok pri rovnakej teplote varu sa značne líčia, všetky krivky $P^0 = f(T)$ majú analogický priebeh (pozri obr. 9.2). Táto podobnosť je zvlášt blízka pri látkach chemicky príbuzných. Pre dve príbuzné látky A, B platí

$$\frac{T_{B1}}{T_{A1}} = \frac{T_{B2}}{T_{A2}} = \left(\frac{T_B}{T_A} \right)_P = \text{konst.} \quad (9.1-26)$$

teda pri dvoch chemicky príbužných látkach je pomer absolútnych teplôt varu pri rovnakom tlaku približne stály. Uvedené pravidlo sa nazýva Ramsayovo-Youngovo a je najväčším zjednodušením Clausiovej-Clapeyronovej rovnice. Platí vždy len v obmedzenom rozsahu tlakov. Vzťah medzi T_B a T_A je v lineárnych súradničiach priamka, ktorá prechádza počiatkom. Zo známeho priebehu tenzie pár referenčnej látky A možno určiť priebeh tenzie pár látky B. Presnosť výpočtu sa zvýši, keď sa použije tzv. Düringovo pravidlo

$$\frac{T_{A1} - T_A}{T_{B1} - T_B} = \text{konšt.} \quad (9.1-27)$$

V tomto prípade však treba poznáť aspoň dva údaje o tlakoch pár alebo teplotách varu skúmanej látky.

Presnejšie výsledky dáva porovnanie tlakov nasýtenej pary dvoch rôznych látok pri rovnakých teplotách varu. Pre vyšetrovanú látku B a referenčnú látku A možno podľa rovnice (9.1-10) napísat nasledujúce vzťahy

$$\frac{dP_B}{P_B} = \frac{\Delta_{\text{výp}}^h B}{R} \frac{dT_B}{T_B^2}$$

$$\frac{dP_A}{P_A} = \frac{\Delta_{\text{výp}}^h A}{R} \frac{dT_A}{T_A^2}$$

Vzhľadom na to, že porovnanie sa robí pri $T_A = T_B$, t.j. $dT_A = dT_B$, dostaneme delením uvedených rovníc

$$\frac{d\ln P_B}{d\ln P_A} = \frac{\Delta_{\text{výp}}^h B}{\Delta_{\text{výp}}^h A} = \text{konšt.} \quad (9.1-28)$$

Pri chemicky príbužných látkach možno predpokladať, že priebehy výparných tepiel v závislosti od teploty sú podobné, takže pomer výparných tepiel látky A a B je konštantný v pomerne širokej oblasti teplôt. Za tohto predpokladu možno potom rovniciu (9.1-28) integrovať a dostaneme

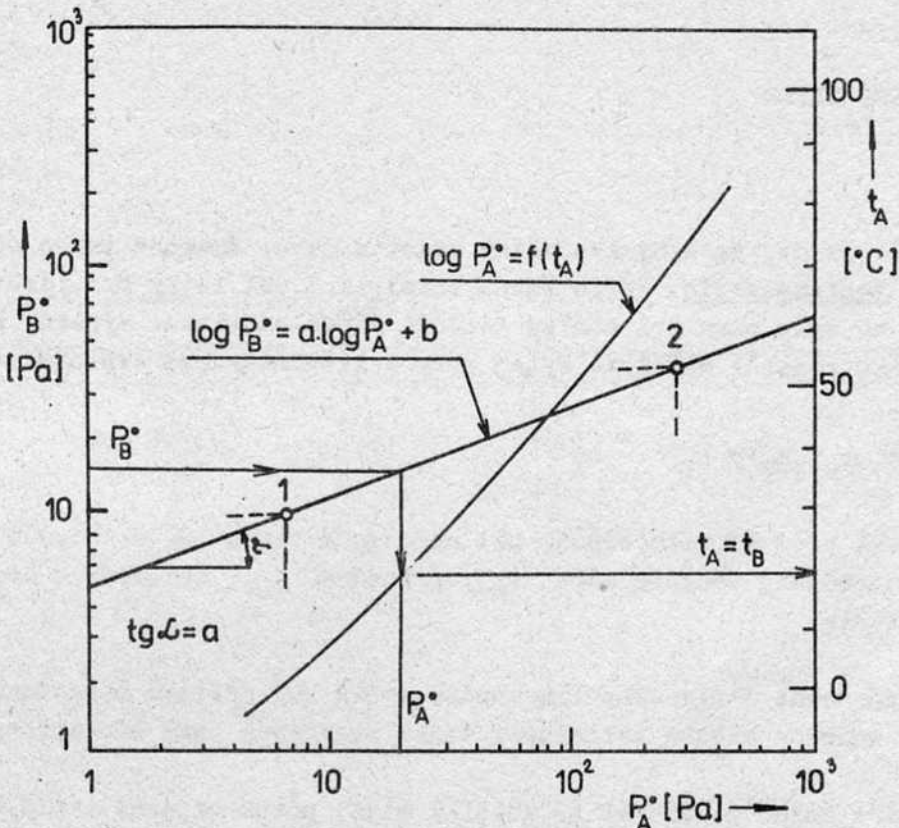
$$\ln P_B^0 = \frac{\Delta_{\text{výp}}^h B}{\Delta_{\text{výp}}^h A} \ln P_A^0 + \text{konšt.}$$

alebo s dekadickým logaritmom

$$\log P_B^0 = \frac{\Delta vyp^h_B}{\Delta vyp^h_A} \log P_A^0 + \text{konšt.} \quad (9.1-29)$$

prípadne

$$\log P_B^0 = a \cdot \log P_A^0 + b \quad (9.1-30)$$



Obr. 9.4

Určenie tlaku nasytenej pary zrovnanvacou metódou
(pri rovnakej teplote)

V logaritmických súradničiach je obrazom rovnice (9.1-30) priamka (obr.9.4). Na os úsečiek vynesieme logaritmickú stupnicu tlaku nasytenej pary vyšetrovanej látky B.

Priamku (9.1-30) vynesieme do grafu, ktorý možno najjednoduchšie zostrojiť zo znalosti dvoch bodov, napr. ak poznáme pri teplote T_1 a T_2 tlaky nasytenej pary látky A a B alebo ak poznáme hodnoty konštánt a, b.

Neznáma teplota varu látky B pri danom rovnovážnom tlaku P_B^0 je rovnaká ako teplota varu referenčnej látky A pri rovnovážnom tlaku P_A^0 . Teplotu varu t_A , ktorá odpovedá rovnovážnemu tlaku P_A^0 , odčítame z parných tabuľiek látky A alebo priamo z grafu na linsárnej stupnici $t_A = t_B$ pomocou trans-

formačnej krivky $\log P_A^0 = f(t_A)$. Transformačnú krivku zostrojíme z údajov parných tabuľiek látky A. Uvedenou metódou možno zisťovať aj tlaky nasýtej pary nad roztokmi rôznych koncentrácií. Diagram na obr. 9.4 sa nazýva Coxov a Othmerov.

9.2 VÝPARNÉ TEPLA

Vyparovanie je dej premeny kvapaliny na sýtu paru. Reakčné teplo tohto deja sa nazýva výparné teplo. Je to zmena entalpie 1 mol látky pri fázovej zmene kvapaliny na sýtu paru pri stálej teplote a stálom tlaku. Výparné teplo možno určiť ako rozdiel entalpie sýtej pary a kvapaliny pri teplote varu

$$\Delta_{výp} h_T = h_T^{(g)} - h_T^{(1)} \quad (9.2-1)$$

Ak sa fázová premena uskutočňuje pri normálnom tlaku ($P_n = 101,325 \text{ kPa}$), t.j. pri normálnej teplote varu T_{nv} , prípadne t_{nv} , hovoríme o normálnom výparnom teple.

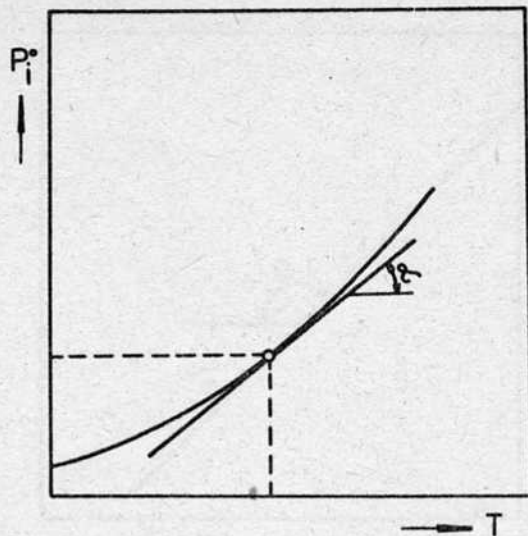
Hodnotu výparného tepla kvapaliny možno určiť bud priamym meraním alebo výpočtom zo známeho vzťahu závislosti tlaku nasýtej pary od teploty.

Ak sýtu paru možno považovať za ideálny plyn, potom výparné teplo vieme určiť z Clausiovej-Clapeyronovej rovnice (9.1-8)

$$\Delta_{výp} h_T = \frac{RT^2}{P} \cdot \frac{dP}{dT} \quad (9.2-2)$$

Na numerický výpočet výparného tepla stačí poznat závislosť zmeny tlaku nasýtej pary od teploty. Pri teplote T a odpovedajúcim rovnovážnom tlaku P^0 treba určiť hodnotu smernice dotyčnice, t.j. $\tan \alpha = dP/dT$, tak ako je to vyznačené na obr. 9.5.

Hodnotu $\tan \alpha$ s menšou presnosťou možno určiť graficky. Ak krivka $P^0 = f(T)$ je daná dvojicami bodov T, P , je výhodné najprv vyjadriť závislosť tlaku nasýtej pary od teploty analyticky (matematickým vyrovnaním bodov) a potom tangenta $\tan \alpha$ vypočítať deriváciou. Rovnako postupujeme pri použití semiempirických rovníc pre tlak nasýtej pary.



Obr. 9.5

Dotyčnica ku krivke tlaku nasýtenej pary
v bode varu

Ak použijeme napr. Antoineovu rovnicu (9.1-19)

$$\log P^0 = a - \frac{b}{t + c}, \quad \text{resp.} \quad \ln P^0 = 2,303 \left(a - \frac{b}{t + c} \right)$$

dostaneme

$$\frac{d \ln P}{dt} = \frac{d \ln P}{dT} = \frac{2,303 b}{(t + c)^2} \quad (9.2-3)$$

a po dosadení do rovnice (9.2-2) dostaneme

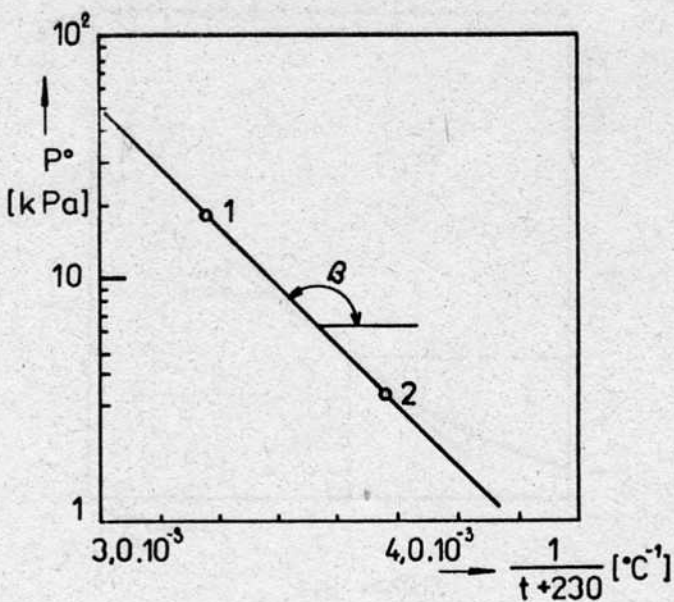
$$\Delta_{\text{výp}} h_T = RT^2 \cdot \frac{2,303 b}{(t + c)^2} \quad (9.2-4)$$

Výparné teplo možno určiť z rovnice (9.1-20)

$$\log P^0 = - \frac{\Delta_{\text{výp}} h}{2,303 R} \cdot \frac{1}{t + 230} + \text{konst.}$$

Závislosť tlaku nasýtenej pary od teploty, definovaná touto rovnicou, sa v semilogaritmických súradničach $1/(t+230)$, $\log P^0$ zobrazí ako priamka, tak ako je to vyznačené na obr. 9.6. Zo smernice takto zobrazenej priamky, ktorej tangenta je $\operatorname{tg} \beta$, možno vypočítať výparné teplo

$$\Delta_{\text{výp}} h = -2,303 R \log \beta \quad (9.2-5)$$



Obr. 9.6

Určenie smernice priamky v súradničiach
 $1/(t+230), \log P_i^o$

Normálne výparné teplo možno s dostatočnou presnosťou vypočítať podľa niektorých generalizovaných rovníc. Patrí k nim napr. pomerne jednoduchá Riedelova rovinka [70].

$$\Delta_{\text{výp}}^h T_{\text{nvr}} = 1,093 RT_k T_{\text{nvr}} \left(\frac{\ln P_k - 12,52609}{0,930 - T_{\text{nvr}}} \right) \quad (9.2-6)$$

Zložitejšia, ale prenejšia je rovinka Vetereho [45]

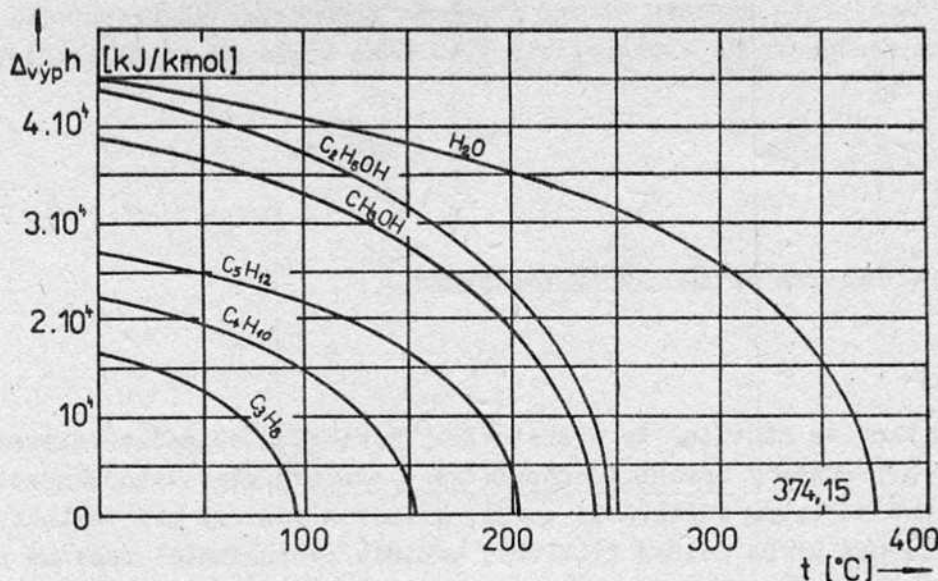
$$\Delta_{\text{výp}}^h T_{\text{nvr}} = RT_k T_{\text{nvr}} \frac{0,4343 \ln P_k - 5,69437 + 0,89584 T_{\text{nvr}}}{0,37691 - 0,37306 T_{\text{nvr}} + 15,0751 \cdot 10^3 P_k^{-1} T_{\text{nvr}}^{-2}} \quad (9.2-7)$$

Rovnice (9.2-6) a (9.2-7) sú vyjadrené v sústave SI.

Na výpočet zmeny výparného тепла od teploty sa často používa Watsonov vzťah [71]

$$\Delta_{\text{výp}}^h T_2 = \Delta_{\text{výp}}^h T_1 \left(\frac{1 - T_{r2}}{1 - T_{r1}} \right)^n \quad (9.2-8)$$

Exponent n je teoreticky pre každú látku iný, avšak v oblasti medzi normálnou teplotou varu a kritickou teplotou pre väčšinu bežných látok vychovuje hodnota $n = 0,38$.



Obr. 9.7
Výparné teplá niektorých kvapalín

Výparné teplo je dôležitá veličina pri kvantitatívnom hodnení všetkých dejov, pri ktorých nastáva kondenzácia alebo vyparovanie. Na obr. 9.7 sú uvedené výparné teplá niekolkých kvapalín v závislosti od teploty.

9.3 SUBLIMAČNÉ TEPLO

Pod sublimáciou rozumieme prechod látky z tuhej fázy do parnej fázy. Takáto skupenská premena nastáva pod trojním bodom (pozri obr. 3.1). Zmenu entalpie, ktorá sprevádza tento dej, možno vypočítať z rovnice (9.1-9). Pri výpočte treba poznáť závislosť rovnovážneho tlaku nasýtenej pary nad tuhou fázou. Takéto experimentálne údaje sú však veľmi zriedkavé. Iný spôsob výpočtu vychádzajúci z teórie stavby kryštálov tuhej fázy je veľmi zložitý a pre praktické výpočty nemá význam.

V technickej praxi sa najčastejšie používa approximácia

$$\Delta_{sub} h_T = \Delta_{vyp} h_T + \Delta_{top} h_T \quad (9.3-1)$$

kde $\Delta_{vyp} h_T$ je výparné teplo extrapolované na teplotu sublimácie a $\Delta_{top} h_T$ - teplota topenia extrapolovaná na teplotu sublimácie.

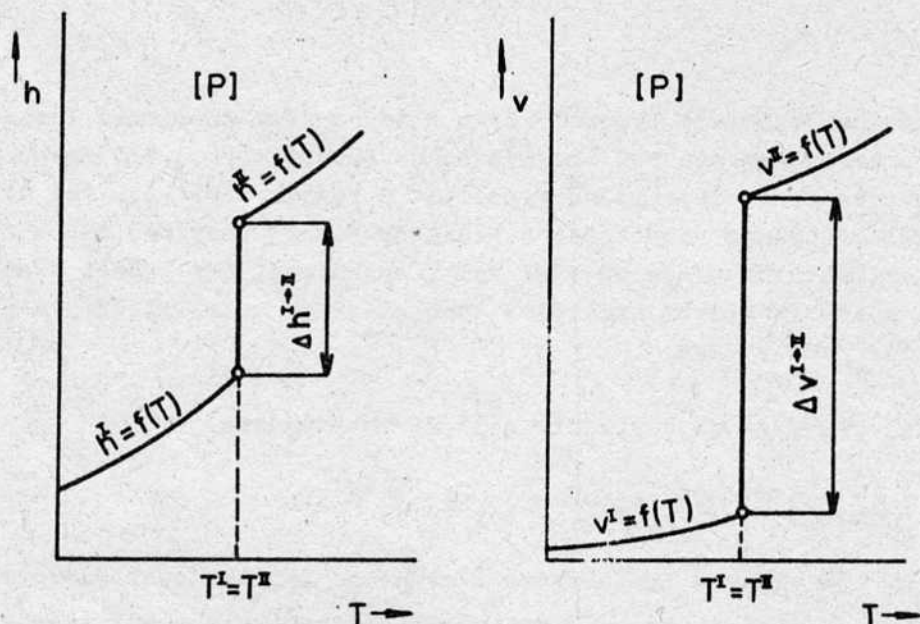
Ak je známa teplota topenia blízko trojného bodu možno závislosť $\Delta v_{\text{výp}}^h$ od teploty zanedbať. Na extrapoláciu výparného tepla sa použije Watsonov vzťah (9.2-8).

9.4 FÁZOVÁ PREMENA PRVÉHO A DRUHÉHO DRUHU

Experimentálne sa zistilo, že v sústavách, v ktorých sa počas fázovej premeny zloženie sústavy nemení (jednozložkové sústavy alebo viaczložkové azeotropické sústavy, eutektické zmesi, kvapalné sústavy pri teplote, ktorá sa rovná hornnej alebo dolnej kritickej teplote rozpúšťania) nastáva počas fázovej premeny výmena tepla medzi sústavou a okolím (teplo fázovej premeny). Fázová premena sa uskutočňuje izotermicky a izobaricky, pričom sa v sústave súčasne mení mоловý objem sústavy, t.j. mоловé objemy rôznych fáz danej zložky sú rôzne.

Tieto závery pre jednozložkovú sústavu vyplývajú priamo z Clapeyronovej rovnice (9.1-4), v ktorej zmena rovnovážneho tlaku podľa teploty (dP/dT) má pri danej teplote konečnú nenulovú hodnotu. Zmena entalpie sústavy a zmena mоловého objemu sústavy sú v danom prípade rôzne od nuly, t.j.

$$\Delta h^{I \rightarrow II} \neq 0; \quad \Delta v^{I \rightarrow II} \neq 0 \quad (9.4-1)$$



Obr. 9.8

Zmena entalpie a mоловého objemu v závislosti od teploty sústavy pri konštantnom tlaku

Na obr. 9.8 sú znázornené zmeny entalpie a mоловého objemu v závislosti od teploty pri konštantnom tlaku pre jednozložkovú sústavu, ktorá prijíma teplo z okolia. Pokial' je sústava jednofázová (I) alebo (II), prijaté teplo z okolia spôsobí zmenu entalpie fázy I, prípadne II (podobný priebeh vykazuje aj zmena mоловého objemu). Pri teplote fázovej premeny $T^I = T^{II}$ táto závislosť vykazuje skokovú zmenu, t.j. priebeh zmeny entalpie a mоловého objemu pri teplote fázovej premeny je nespojity. V dôsledku toho má nespojity priebeh aj zmena entrópie, takže platí

$$\Delta s^{I \rightarrow II} \neq 0 \quad (9.4-2)$$

Termodynamická podmienka fázovej rovnováhy za izotermických a izobarických podmienok je podľa vzťahu (4.7-8)

$$dg = 0$$

To znamená, že pri fázovej premene nenastáva zmena mоловej volnej entalpie sústavy. Závislosť zmeny mоловej volnej entalpie sústavy od teploty a tlaku je daná rovnicami (4.2-15)

$$\left(\frac{\partial g}{\partial T} \right)_P = -s; \quad \left(\frac{\partial g}{\partial P} \right)_T = v$$

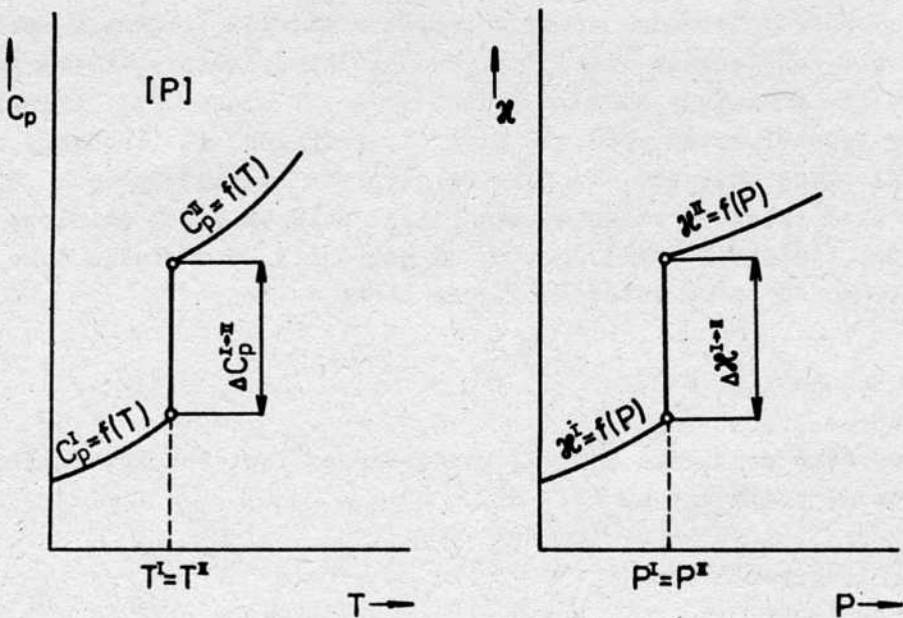
Z týchto rovnic vyplýva, že pri teplote fázovej premeny $T^I = T^{II}$ prvá diferencia mоловej volnej entalpie podľa teploty alebo podľa tlaku je nespojité funkcia teploty alebo tlaku.

Všetky fázové premeny, ktoré sa pri fázovej zmene za konštantného tlaku a teploty vyznačujú výmenou tepla medzi sústavou a okolím (sú tepelné zaferbené), zmenou objemu sústavy a entrópis sa nazývajú fázové premeny prvého druhu.

Medzi fázové premeny patria vyparovanie, kondenzácia, topenie, tuhnutie, sublimácia, rozpúšťanie, zmeny kryštaličkej modifikácie a pod.

Okrem týchto fázových premen boli objavené premeny, ktoré nie sú sprevádzané výmenou tepla medzi sústavou a okolím. V priebehu týchto premen nenastáva zmena mоловého objemu sústavy ani zmena entrópis sústavy.

V priebehu týchto zmien nenestáva ani zmena volnej entalpie sústavy ($dg = Q$, ale na rozdiel od predchádzajúcich prípadov, prvá derivácia volnej entalpie v závislosti od teploty alebo tlaku je pri teplote fázovej premeny spojitu funkciou teploty alebo tlaku).



Obr. 9.9

Zmena mólovej tepelnej kapacity (koeficientu stlačiteľnosti) v závislosti od teploty (tlaku) pri konštantnom tlaku (teplote)

Nespojity priebeh pri teplote fázovej premeny (pozri obr. 9.9) v závislosti od teploty však vykazuje mólová tepelná kapacita pri konštantnom tlaku

$$c_p = \left(\frac{\partial h}{\partial T} \right)_P = T \left(\frac{\partial s}{\partial T} \right)_P$$

a koeficient stlačiteľnosti a koeficient objemovej roztažnosti

$$\alpha = - \frac{1}{V} \left(\frac{\partial V}{\partial P} \right)_T; \quad \gamma = \frac{1}{V} \left(\frac{\partial V}{\partial T} \right)_P$$

V dôsledku týchto skutočností je druhá derivácia mólovej volnej entalpie pri fázovej premene podľa teploty pri konštantnom tlaku, prípadne podľa tlaku pri konštannej teplote nespojituou funkciou teploty, alebo tlaku, teda

$$\left(\frac{\partial^2 g^I}{\partial T^2} \right)_P - \left(\frac{\partial^2 g^{II}}{\partial T^2} \right)_P = \left(\frac{\partial s^{II}}{\partial T} \right)_P - \left(\frac{\partial s^I}{\partial T} \right)_P = \frac{1}{T} (c_p^{II} - c_p^I) \quad (9.4-3)$$

$$\left(\frac{\partial^2 g^I}{\partial P^2} \right)_T - \left(\frac{\partial^2 g^{II}}{\partial P^2} \right)_T = \left(\frac{\partial V^I}{\partial P} \right)_T - \left(\frac{\partial V^{II}}{\partial P} \right)_T = V (\alpha^{II} - \alpha^I) \quad (9.4-4)$$

$$\frac{\partial^2 g^I}{\partial P \partial T} - \frac{\partial^2 g^{II}}{\partial P \partial T} = \left(\frac{\partial v^I}{\partial T} \right)_P - \left(\frac{\partial v^{II}}{\partial T} \right)_P = v (\gamma^I - \gamma^{II}) \quad (9.4-5)$$

Fázové zmeny, ktoré nie sú sprevádzané výmenou tepla medzi sústavou a okolím, zmenou mоловého objemu a entrópie sústavy, ale sú charakterizované zmenou mоловej tepelnej kapacity za konštantného tlaku, koeficientom stlačiteľnosti a koeficientom objemovej roztažnosti sa nazývajú fázovými premenami druhého druhu.

K týmto dejom patrí napr. prechod niektorých kovov pri určitej nízkej teplote do supravodivého stavu. Pri ortuti sa to pozorovalo pri teplote 4,12 K, pri zinku 0,79 K a pri kadmiu 0,6 K. Aj premena kvapalného hélia v supratekutý stav pri teplote 2,9 K je fázová premena druhého druhu. Pri tejto teplote kvapalné hélium vytvára novú fazu, ktorá sa vyznačuje nulovou hodnotou koeficientu kinematickej viskozity. Ďalším dejom, ktorý patrí medzi fázové premeny druhého druhu je prechod látky z feromagnetického stavu do paramagnetického stavu pri Curieho teplote.

Experimentálne sa dokázalo, že aj fázové premeny druhého druhu, ktoré sa uskutočňujú pri kritickej teplote vykazujú vlastnosti typické pre fázové premeny prvého druhu. Pri vyparovani kvapaliny pri kritickej teplote nenastáva výmena tepla medzi sústavou a okolím. Kriticke mоловé objemy kvapaliny a plynu sú rovnaké, takže entrópia sústavy sa nemení. Na druhej strane sa však mení mоловá tepelná kapacita pri konštantnom tlaku, koeficient stlačiteľnosti a koeficient objemovej roztažnosti. Podobným dejom je napr. vzájomné rozpúšťanie dvoch nemiešateľných kvapalín (pozri kap. 11.1) pri hornej alebo dolnej kritickej rozpúšťacej teplote.

Matematický opis rovnovážnej krivky fázovej premeny druhého druhu nemožno odvodiť priamo z Clapeyronovej rovnice (9.1-3), pretože výraz dP/dT je neurčitý (zmeny $\Delta h^{I \rightarrow II}$, $\Delta v^{I \rightarrow II}$ a $\Delta s^{I \rightarrow II}$ sú nulové).

Na základe rovnice (9.1-3) vzhľadom na závislosť mоловej entrópie od teploty (9.4-3) možno napísat vzťah

$$\frac{dP}{dT} = \frac{\Delta \left(\frac{\partial s}{\partial T} \right)_P}{\Delta \left(\frac{\partial v}{\partial T} \right)_P} = \frac{\Delta c_P^{I \rightarrow II}}{T \Delta \left(\frac{\partial v}{\partial T} \right)_P} = \frac{\Delta c_P^{I \rightarrow II}}{Tv \Delta \gamma^{I \rightarrow II}} \quad (9.4-6)$$

a vzhľadom na závislosť entrópie od tlaku $\left[\left(\frac{\partial s}{\partial P} \right)_T = - \left(\frac{\partial v}{\partial T} \right)_P \right]$ možno napísat vzťah

$$\frac{dP}{dT} = \frac{\Delta \left(\frac{\partial s}{\partial P} \right)_T}{\Delta \left(\frac{\partial v}{\partial P} \right)_T} = - \frac{\Delta \left(\frac{\partial v}{\partial T} \right)_P}{\Delta \left(\frac{\partial v}{\partial P} \right)_T} = \frac{\Delta \gamma^{I \rightarrow II}}{\Delta \alpha^{I \rightarrow II}} \quad (9.4-7)$$

Rovnice (9.4-6) a (9.4-7) matematicky opisujú fázovú rovnováhu druhého druhu. Tieto rovnice sú obdobou Clapeyronovej rovnice.